

Fig. 1
PRIOR ART

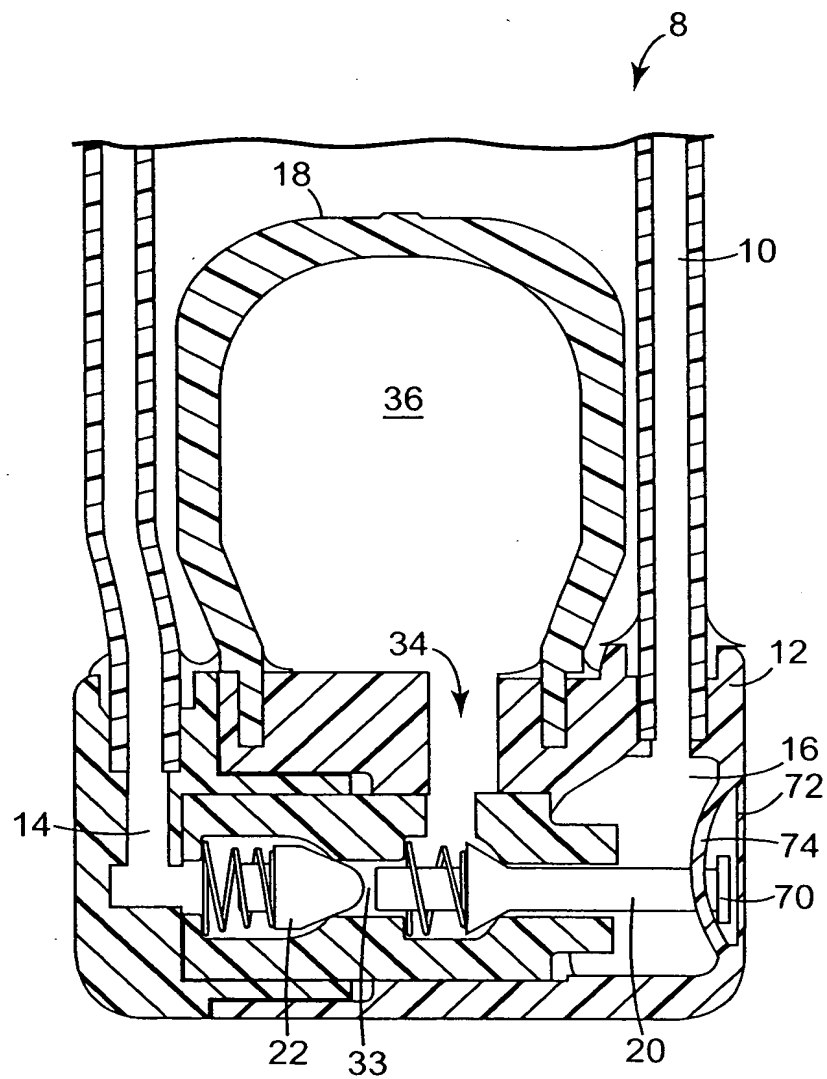


Fig. 2

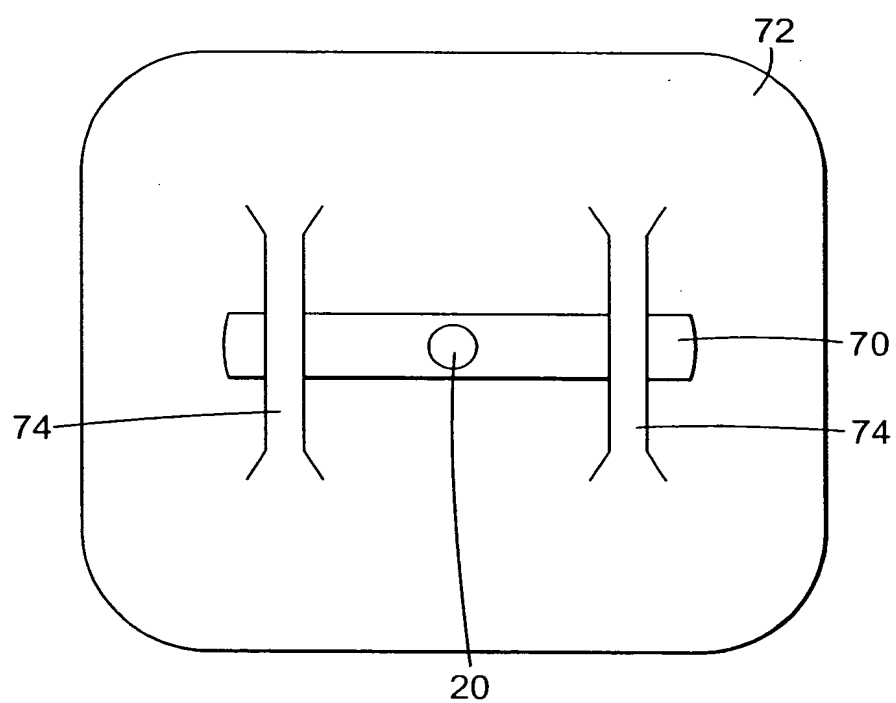


Fig. 3

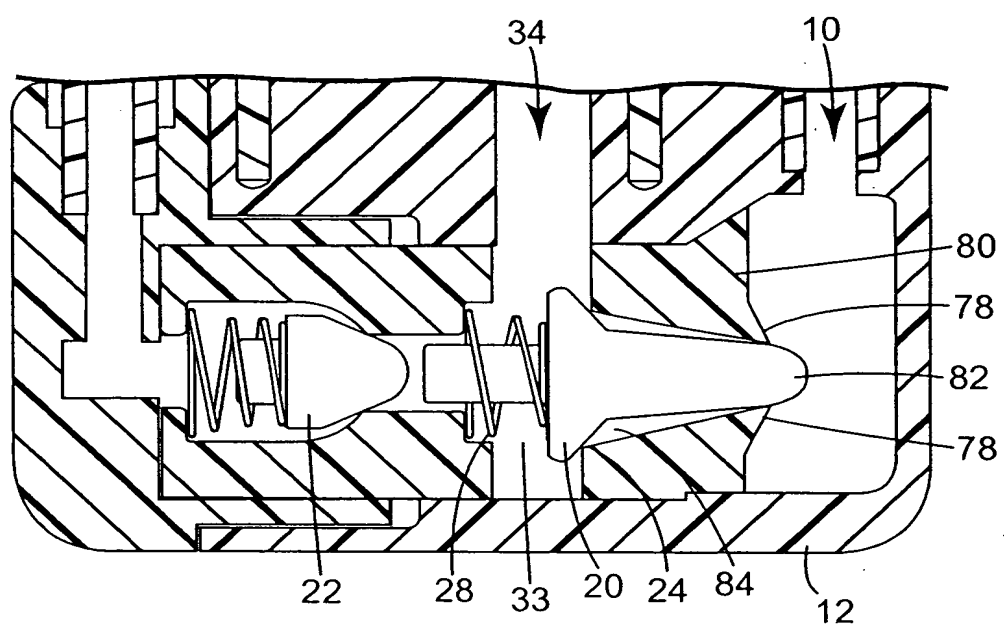


Fig. 4

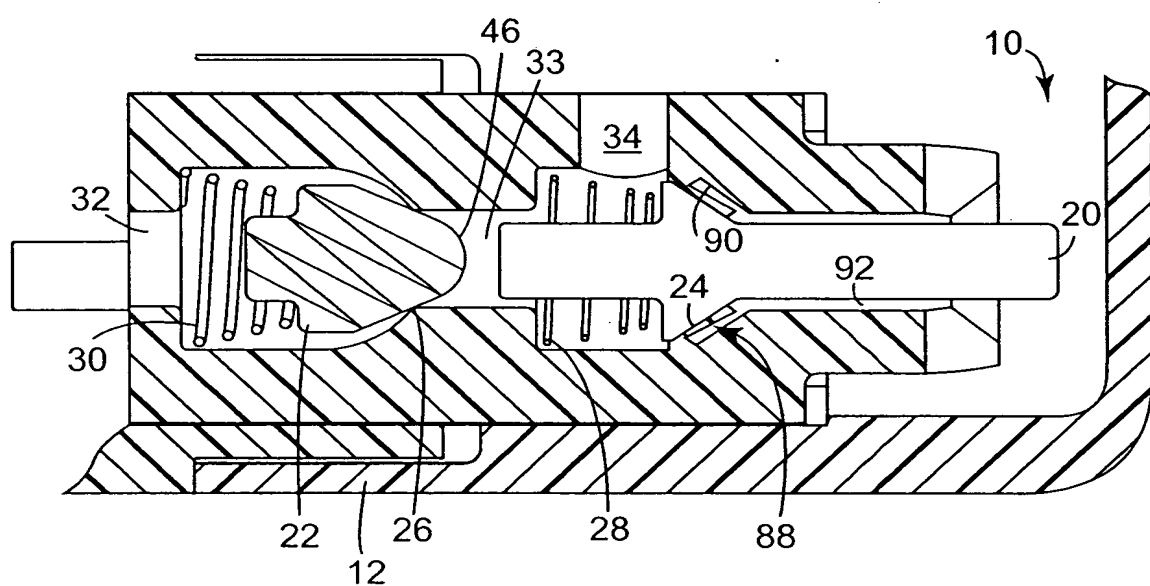


Fig. 5

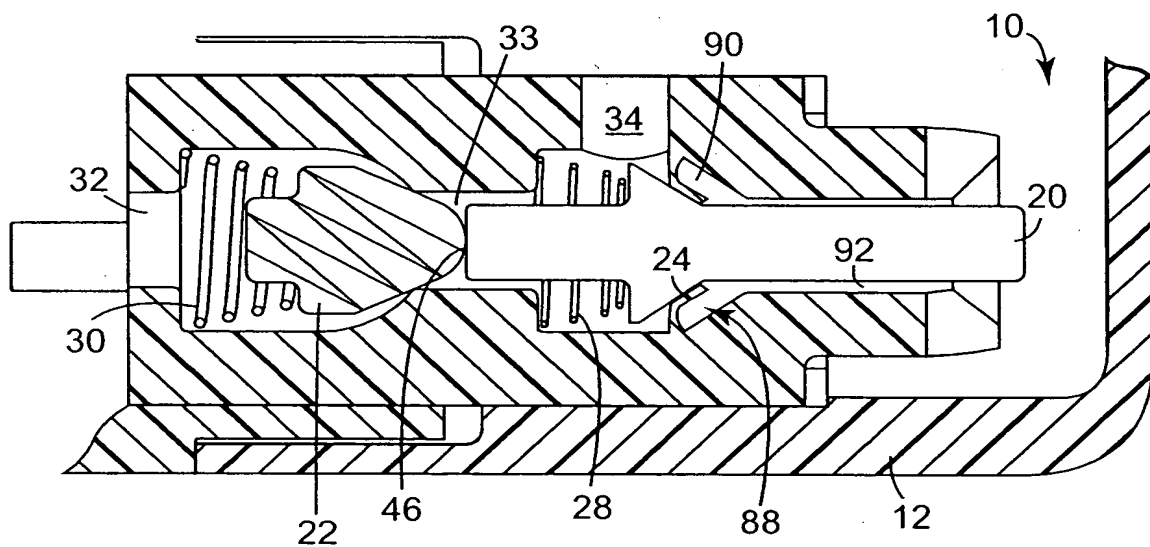


Fig. 6

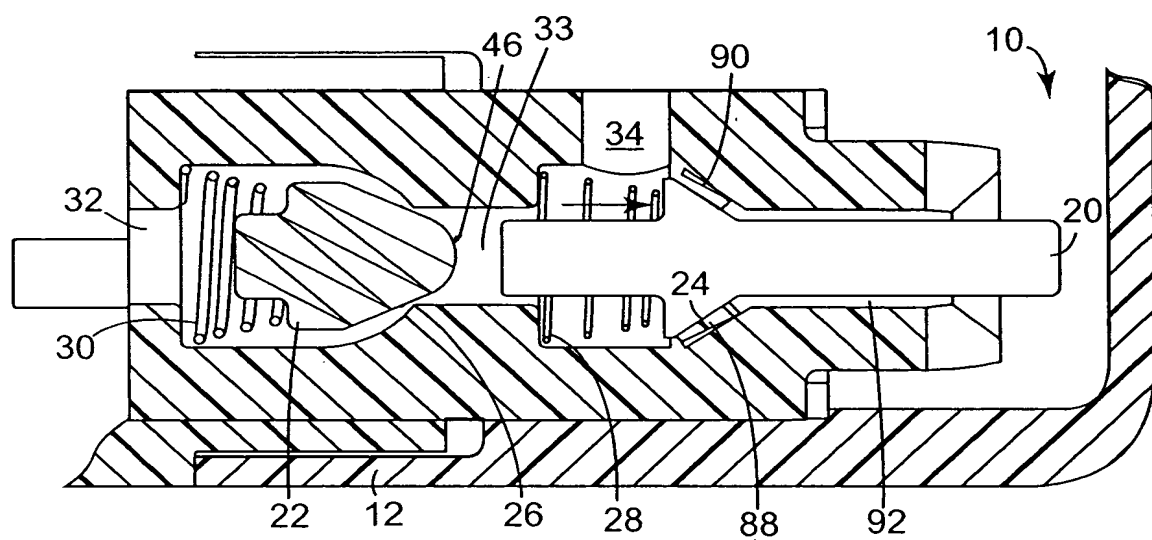


Fig. 7

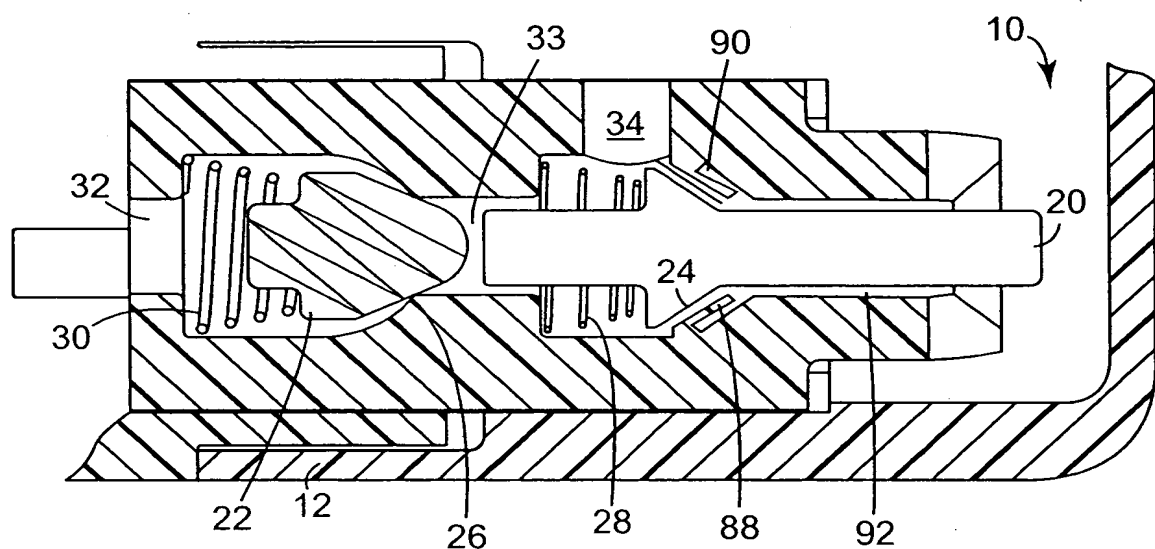


Fig. 8

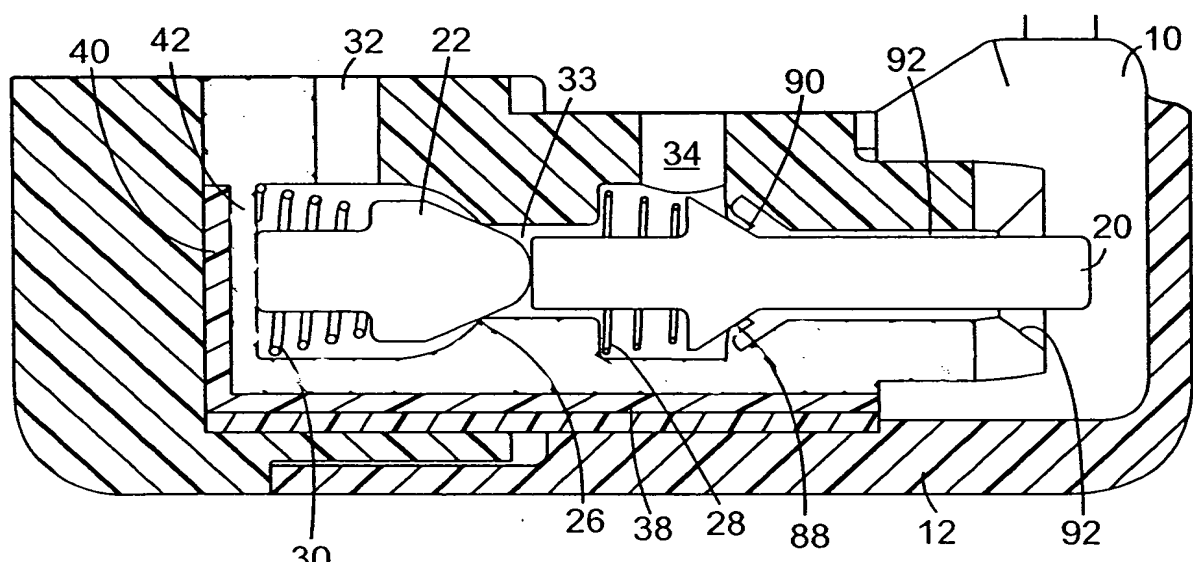


Fig. 9

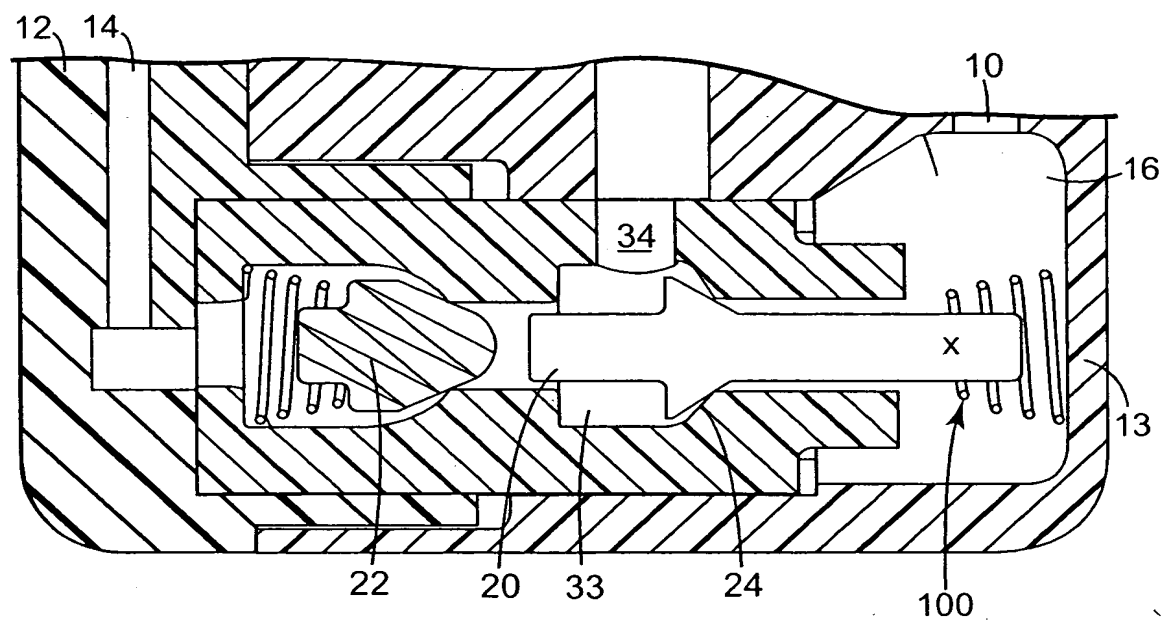


Fig. 10

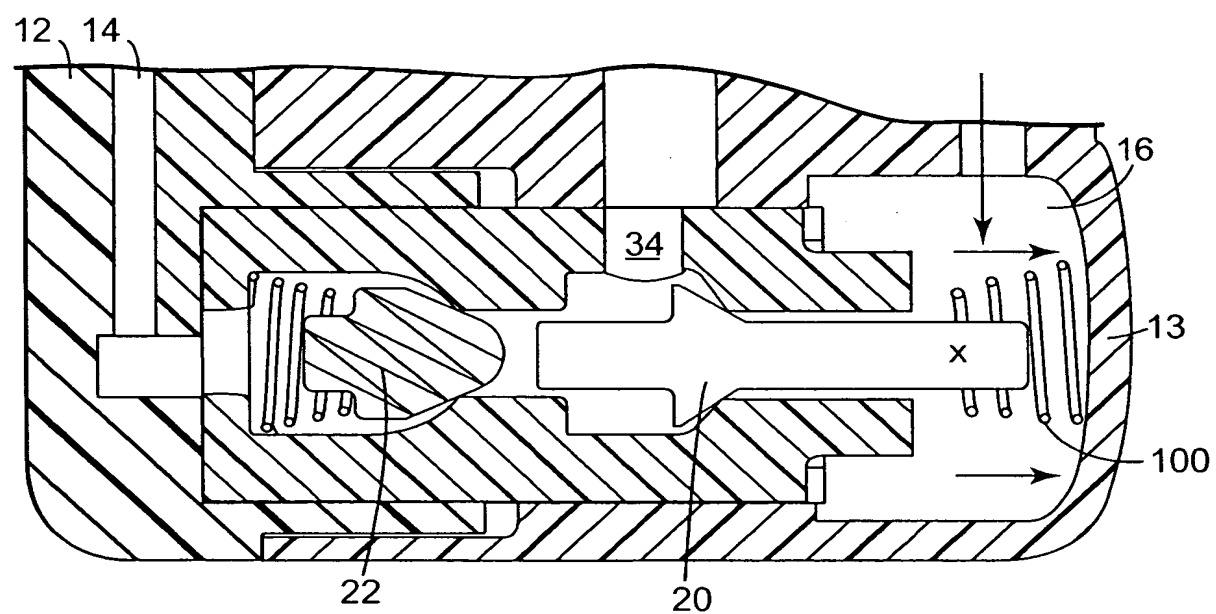


Fig. 11

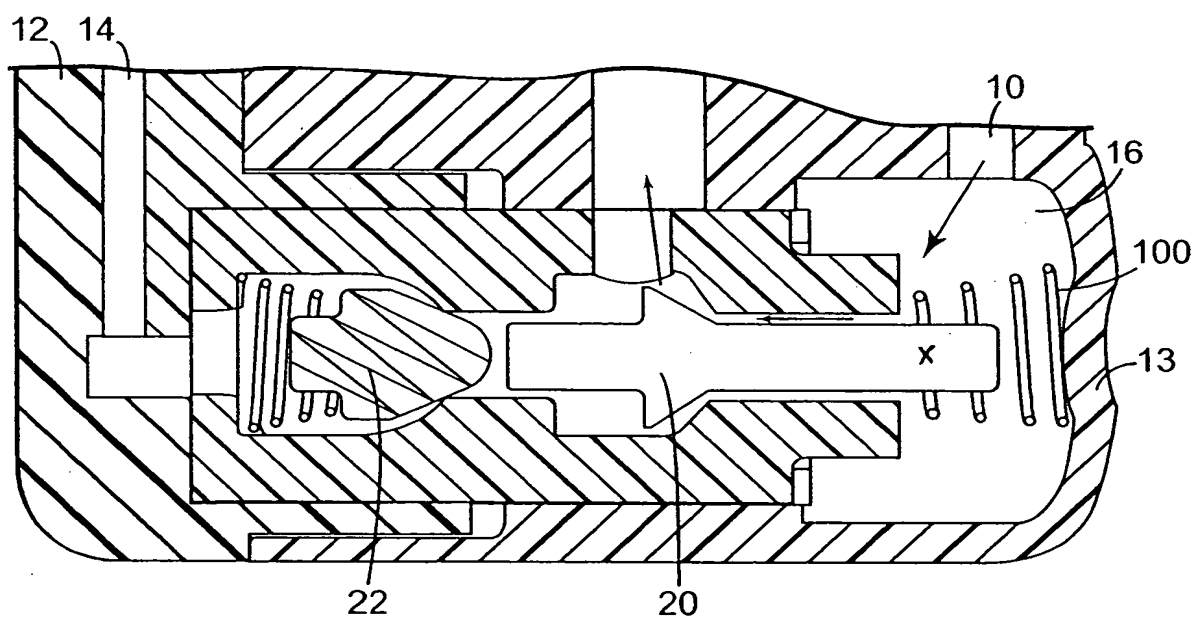


Fig. 12

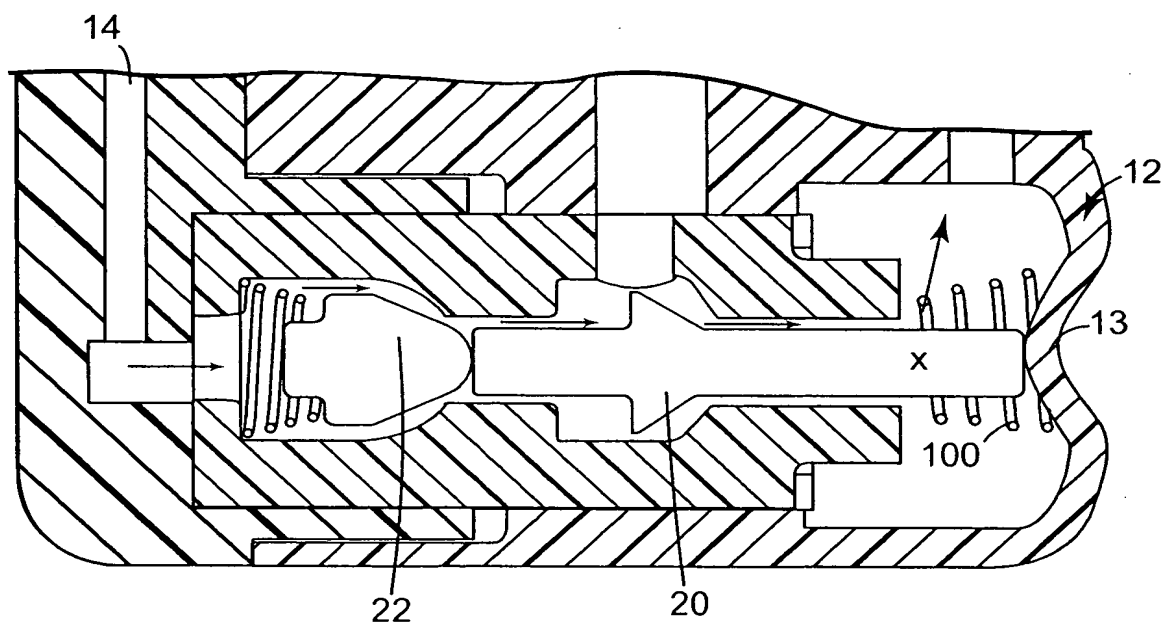


Fig. 13

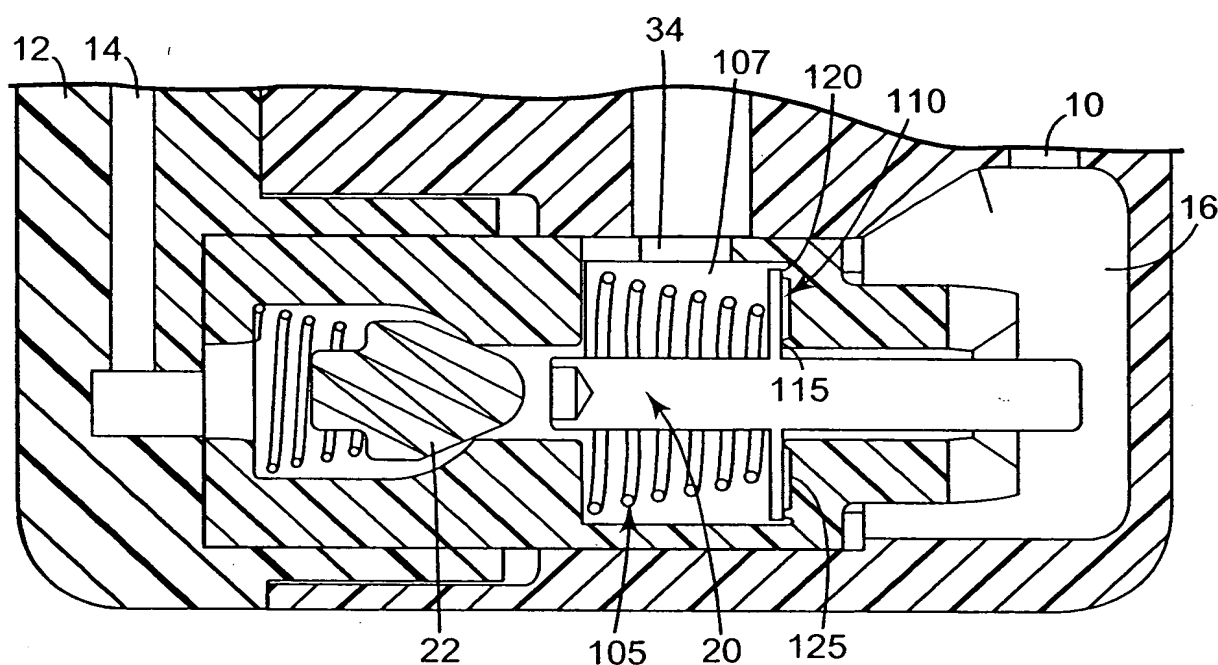


Fig. 14

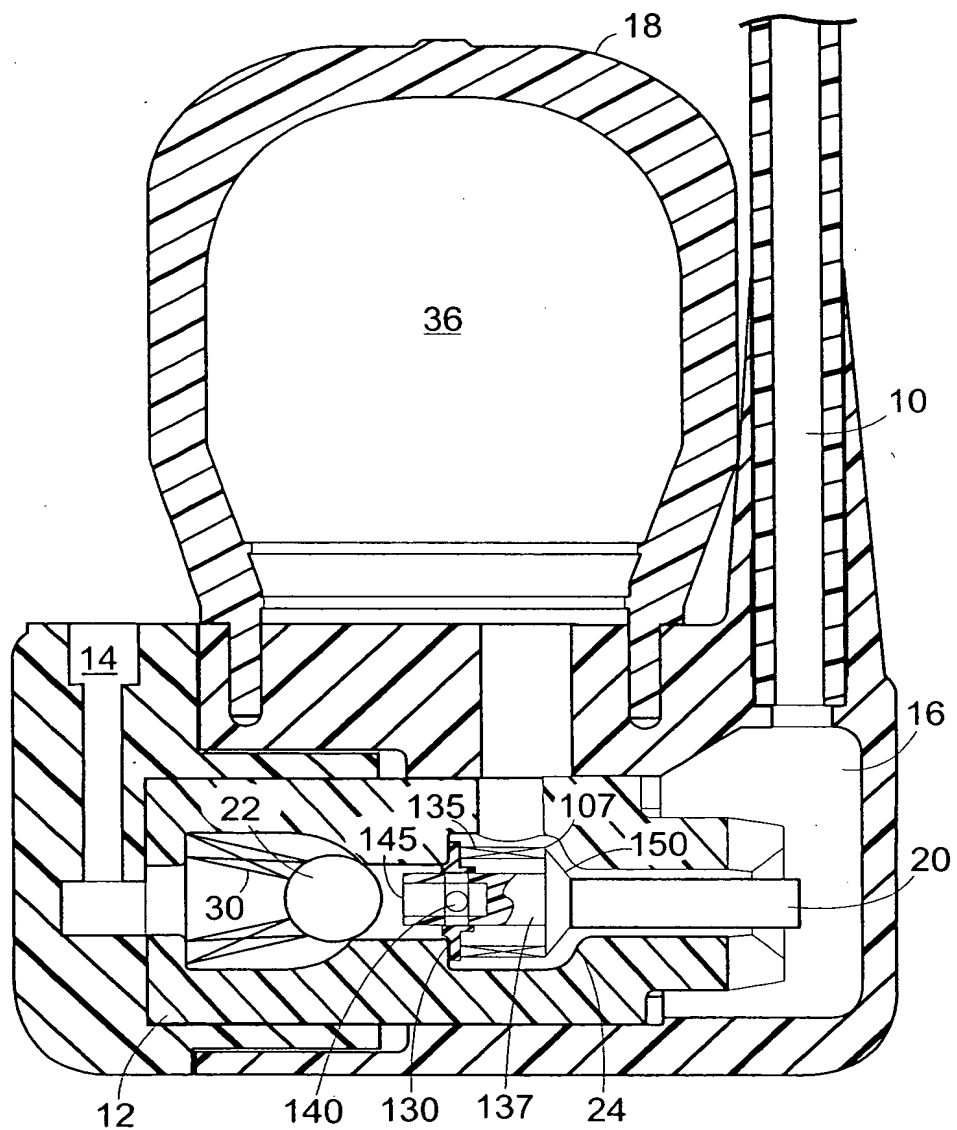


Fig. 15

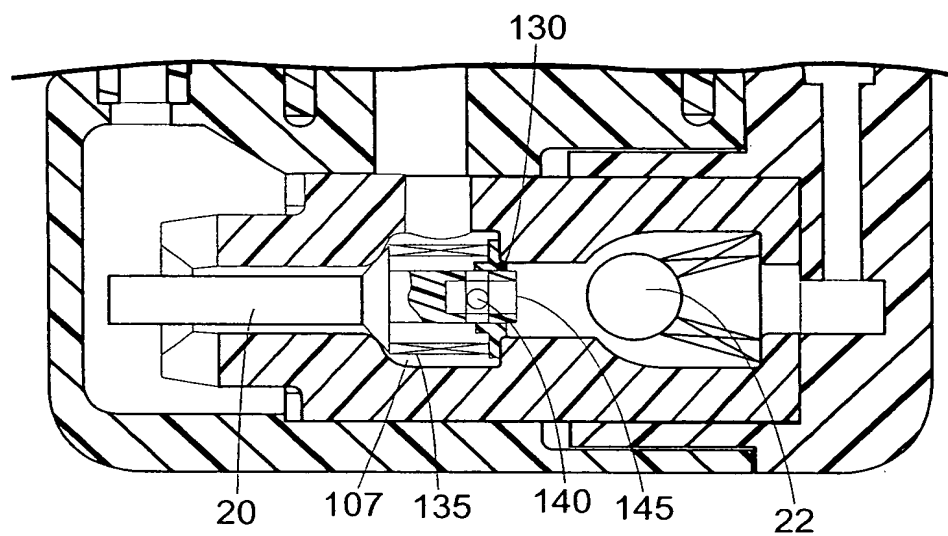


Fig. 16

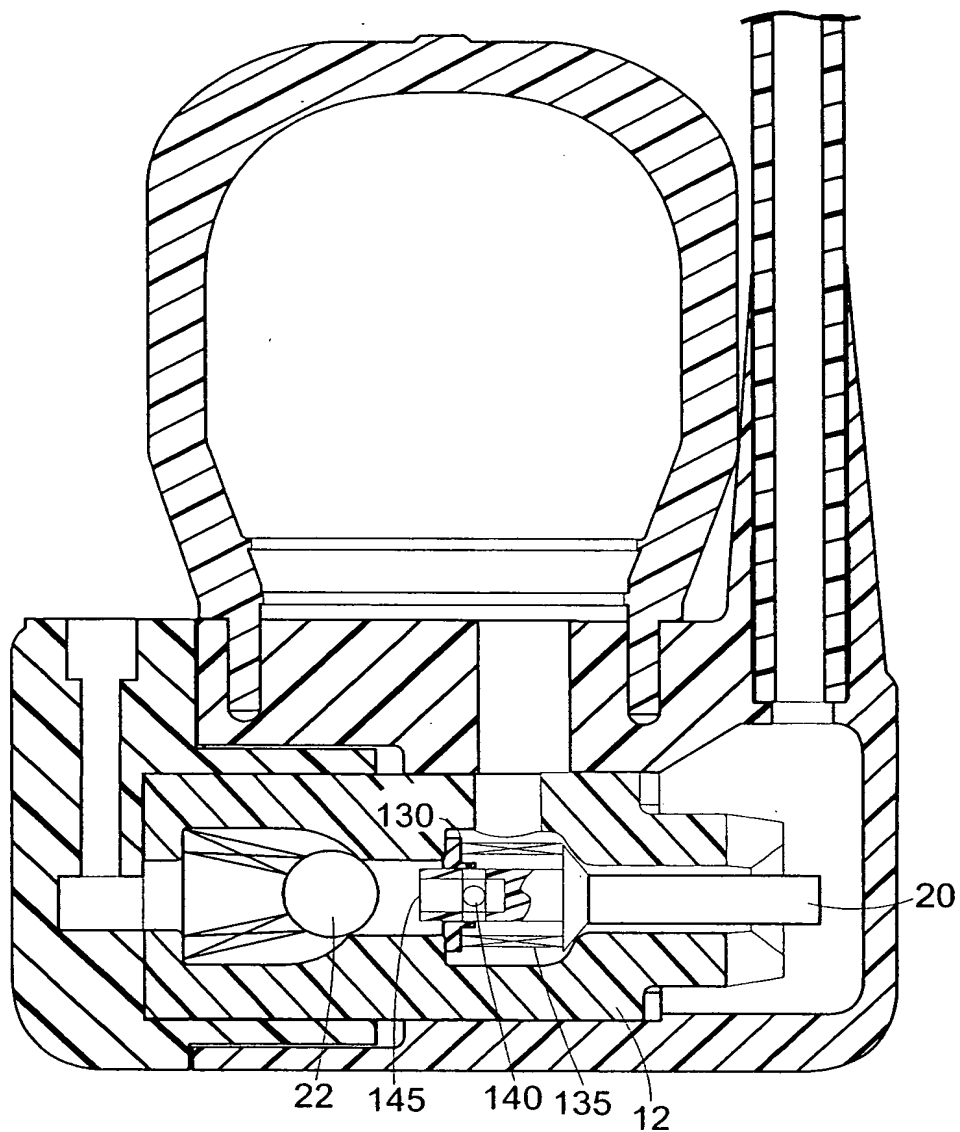


Fig. 17

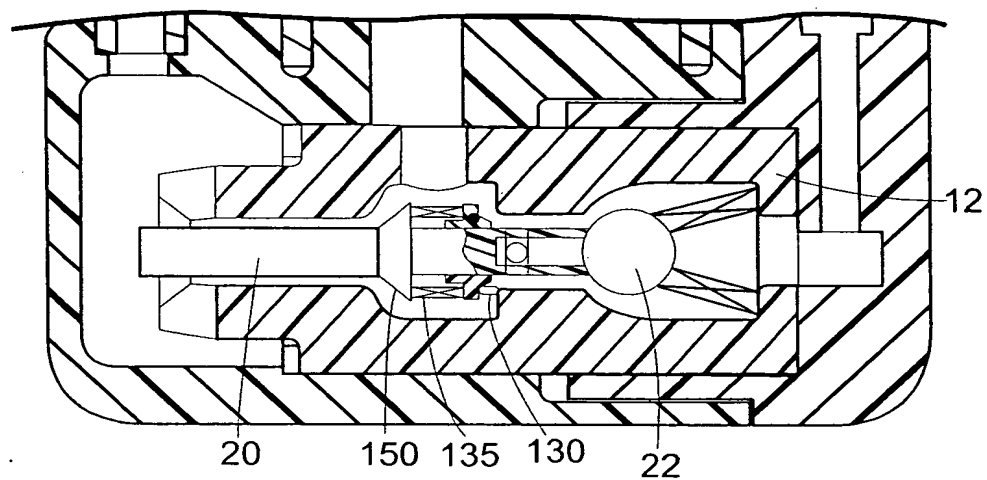


Fig. 18

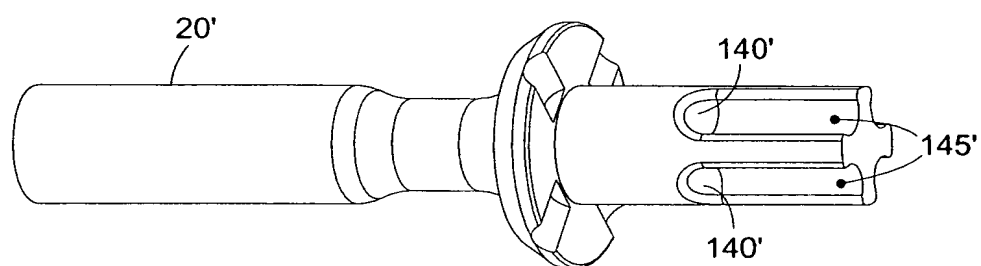


Fig. 18A

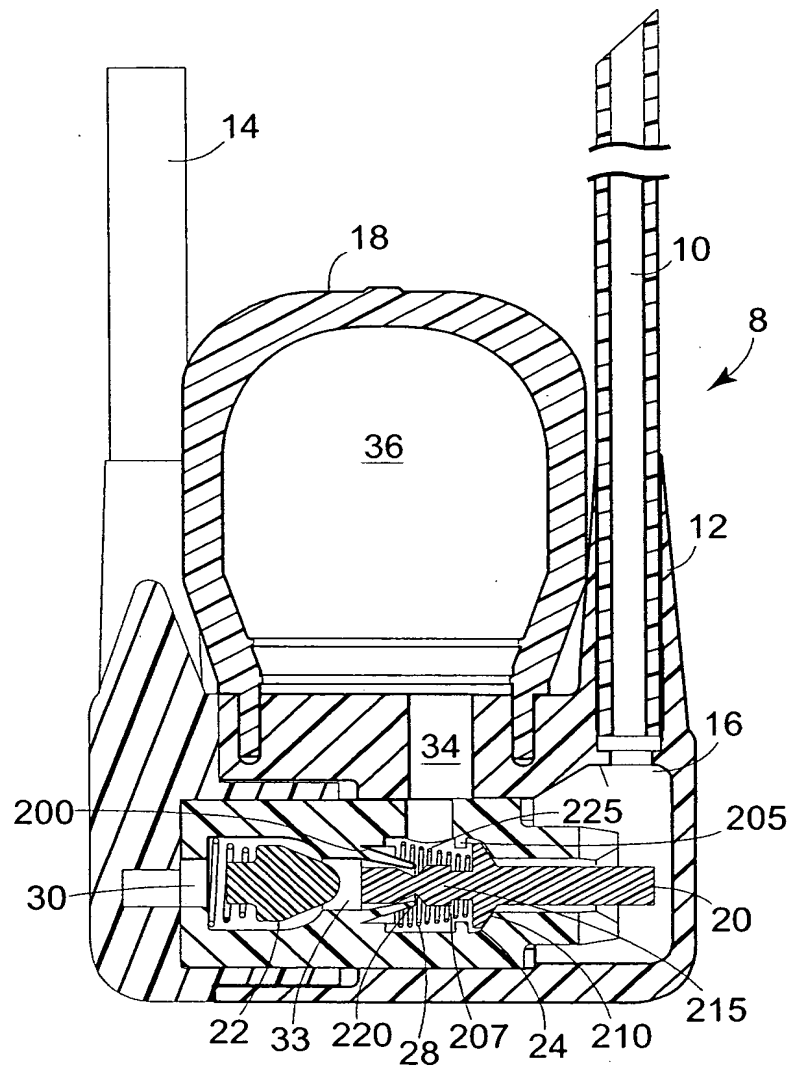


Fig. 19

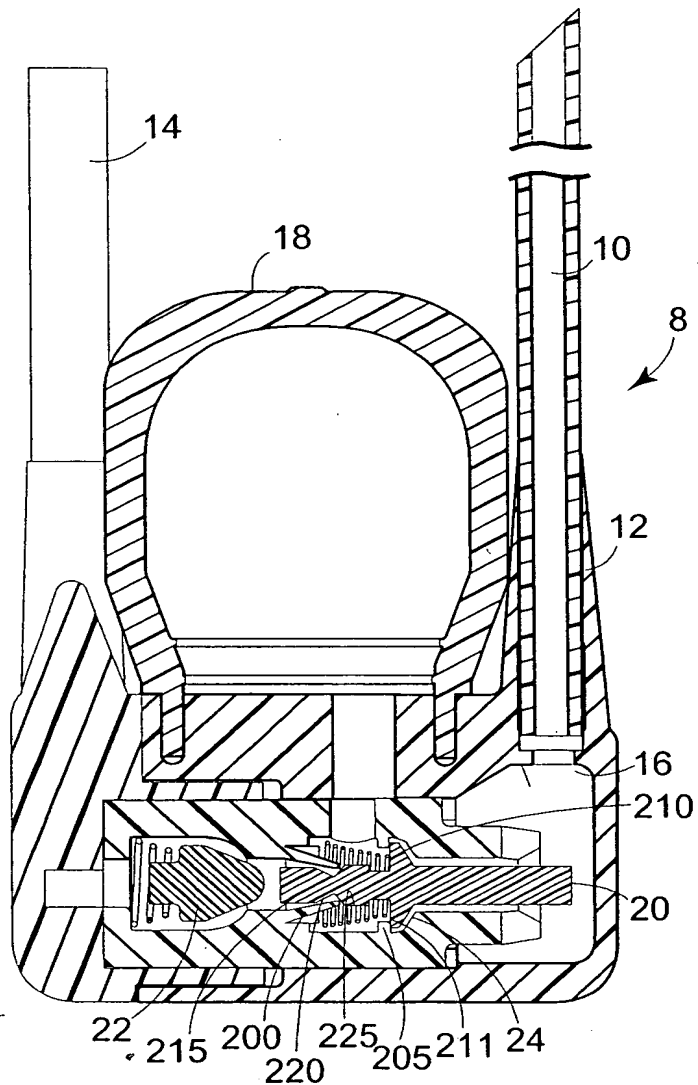


Fig. 20

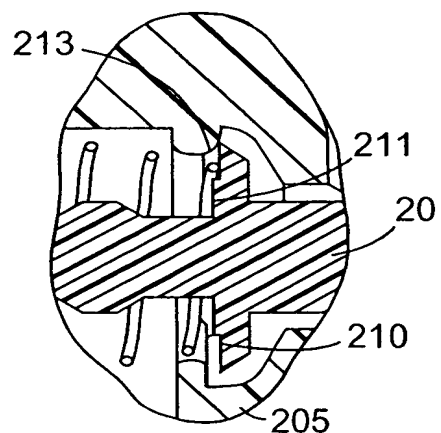


Fig. 20A

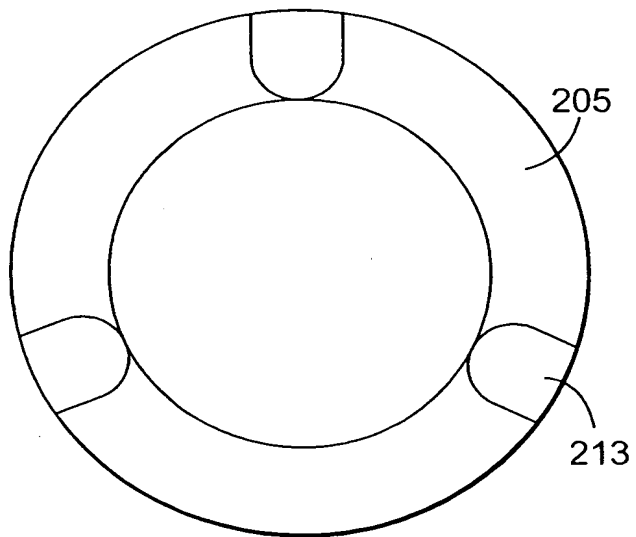


Fig. 20B

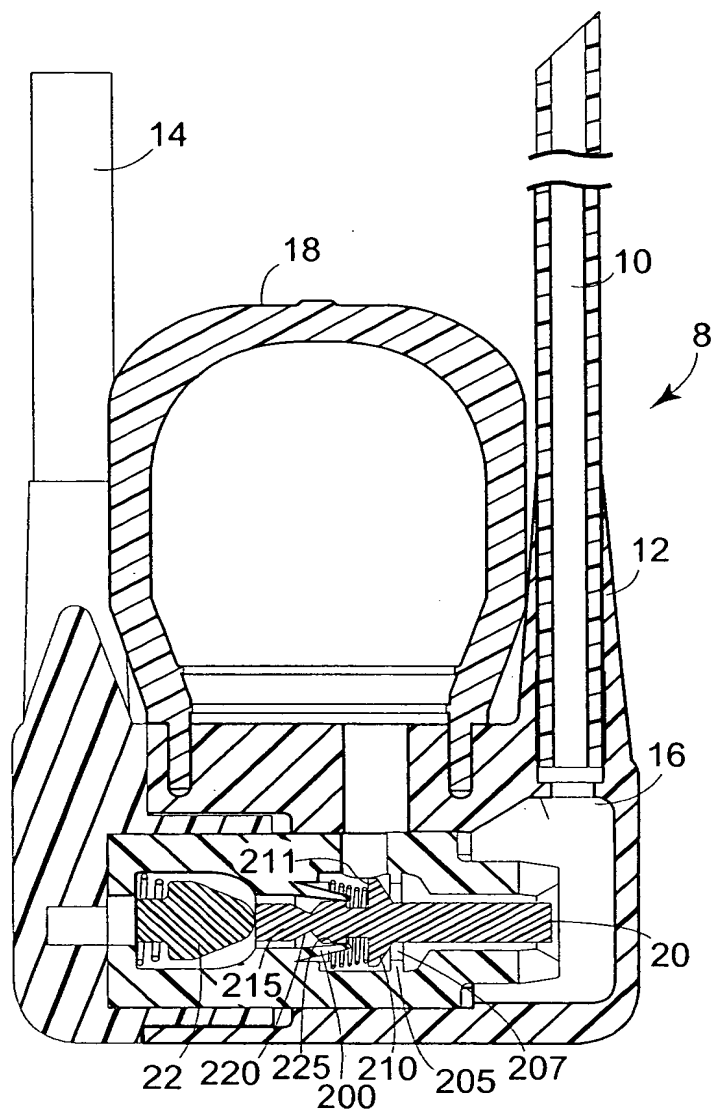


Fig. 21

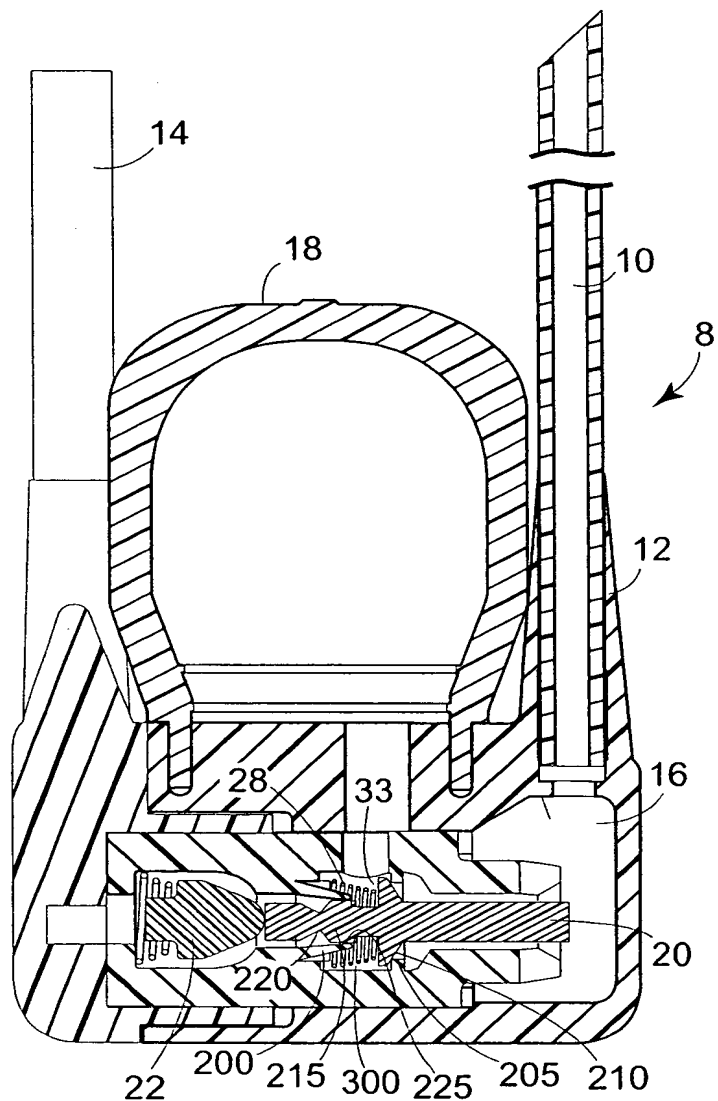


Fig. 22

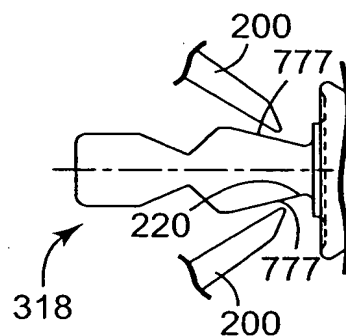


Fig. 23B

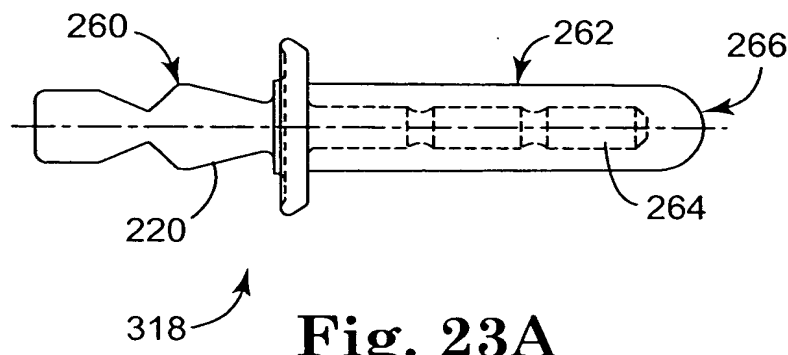


Fig. 23A

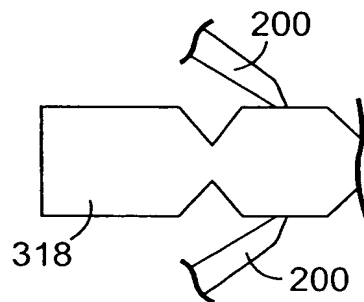


Fig. 23C

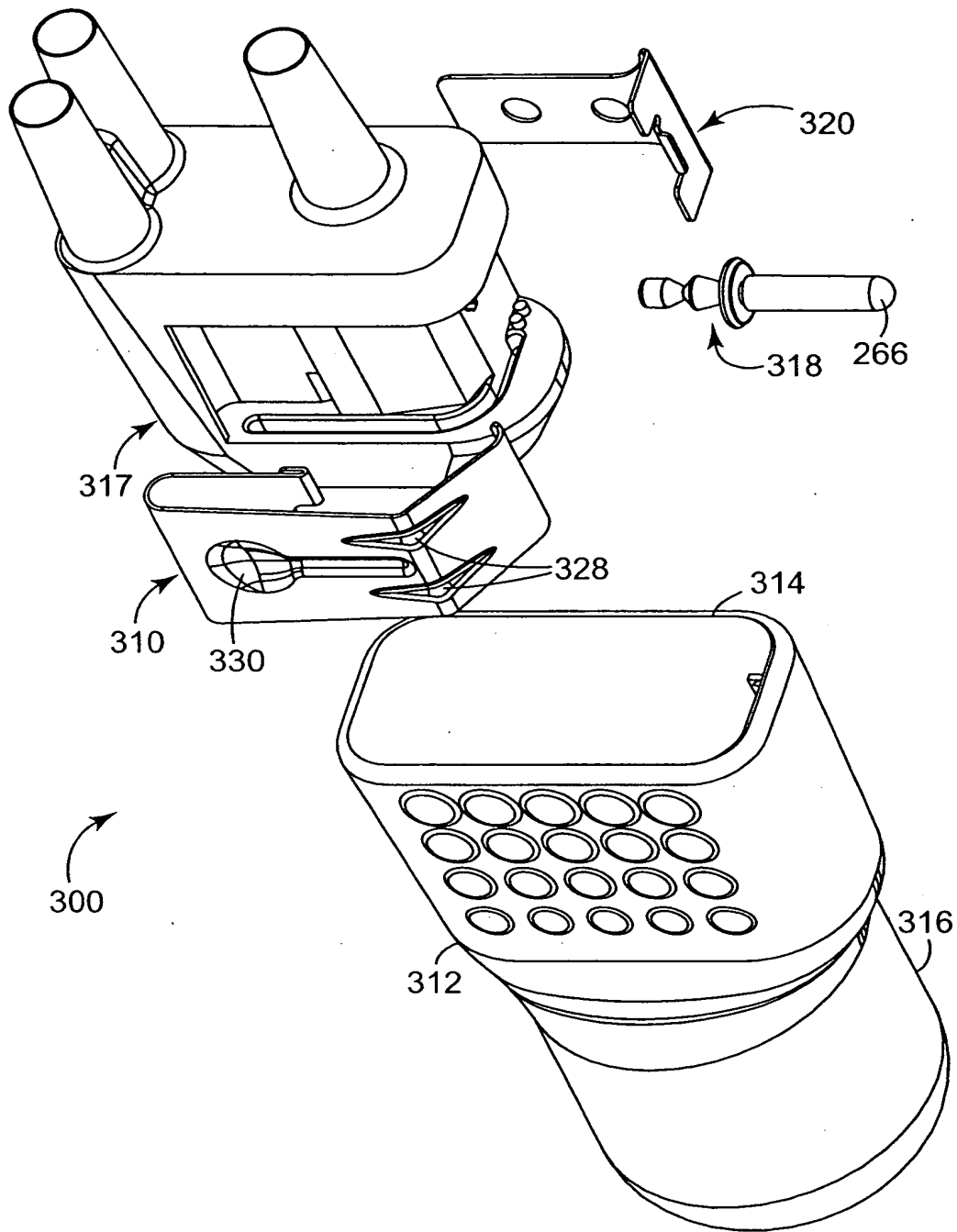


Fig. 24

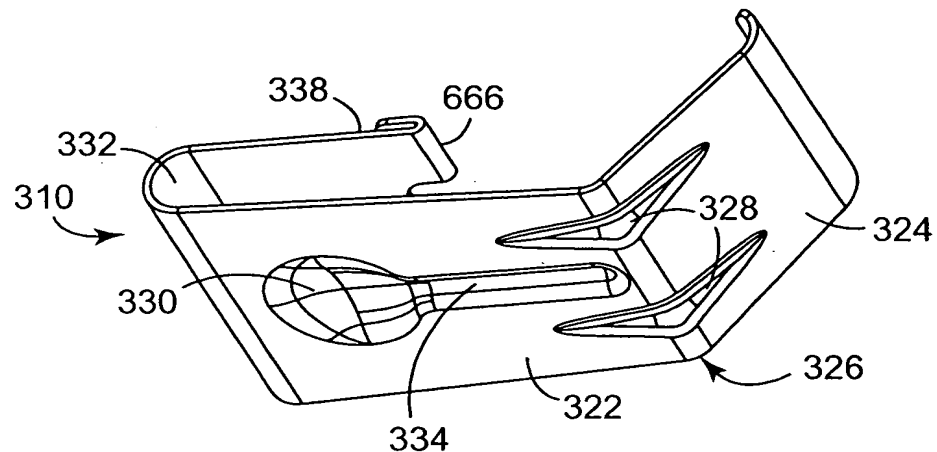


Fig. 25

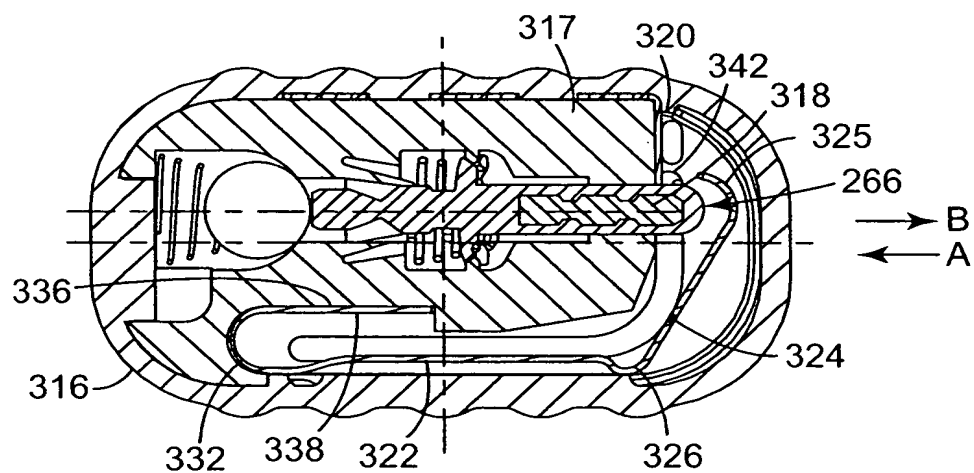


Fig. 26A

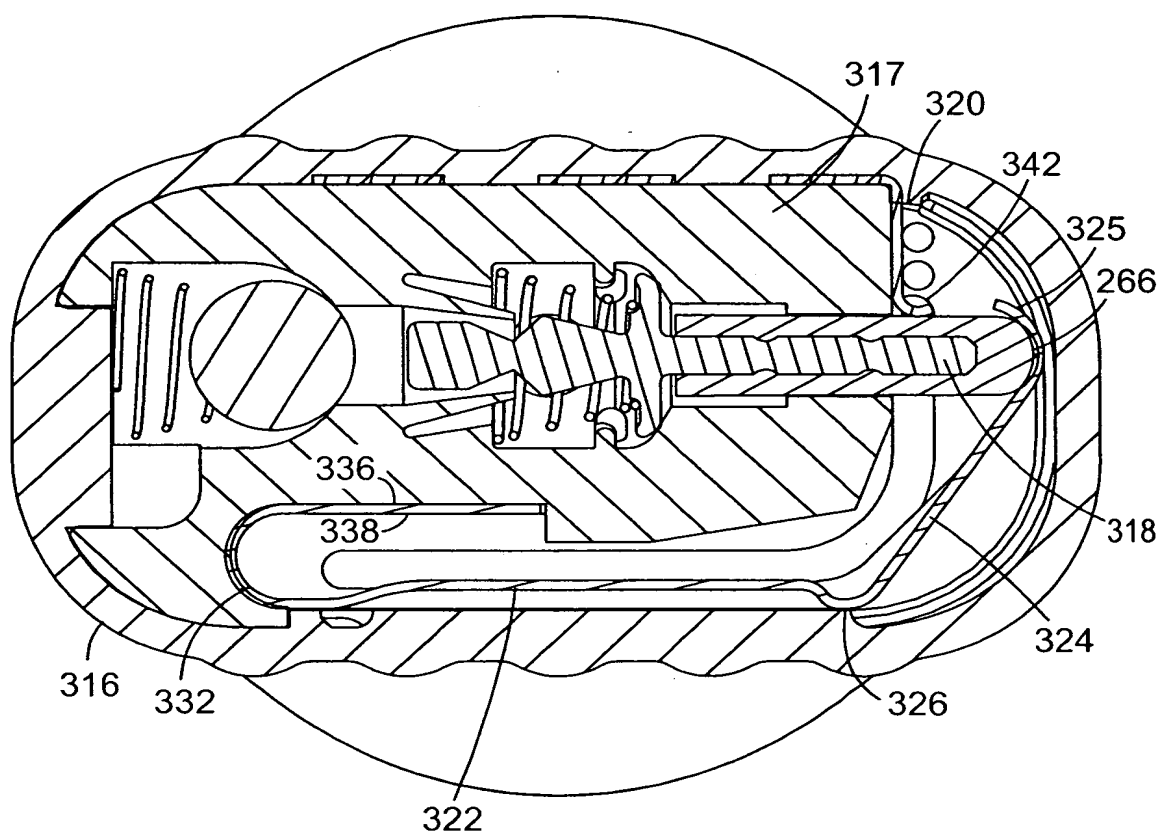


Fig. 26B

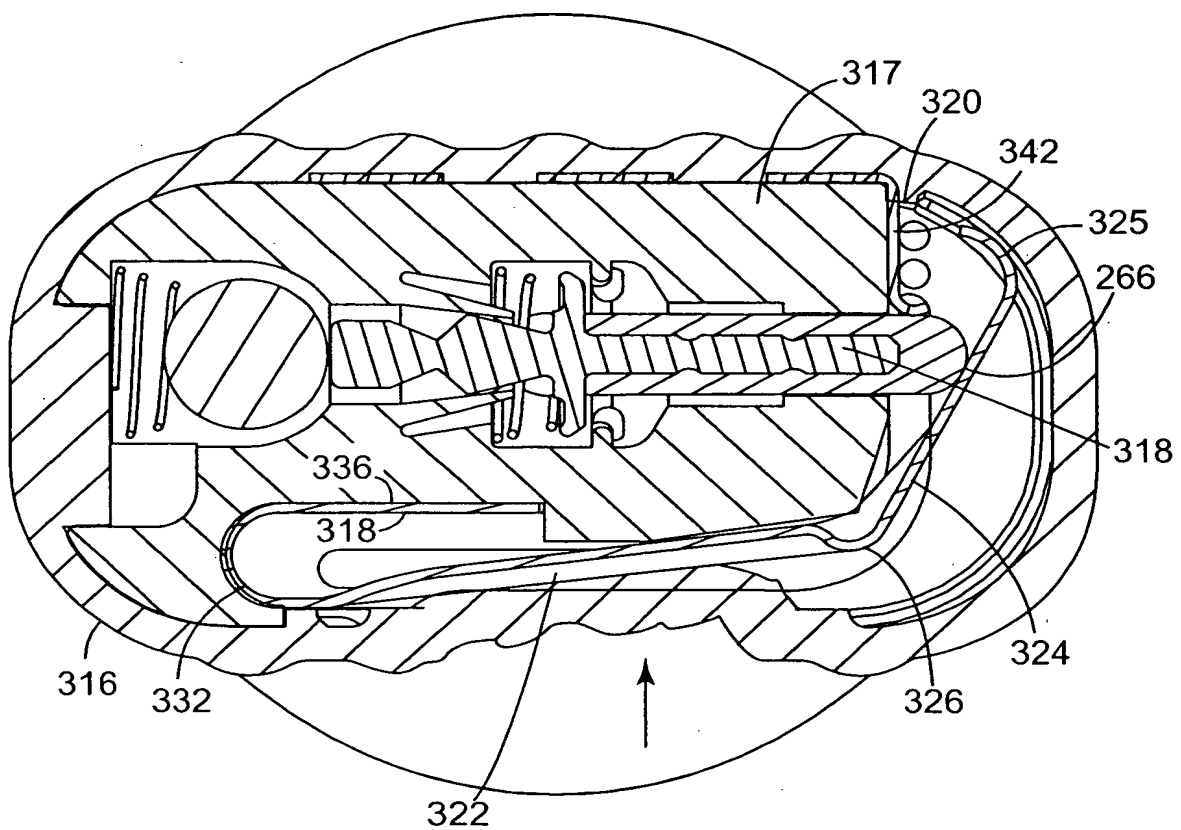


Fig. 26C

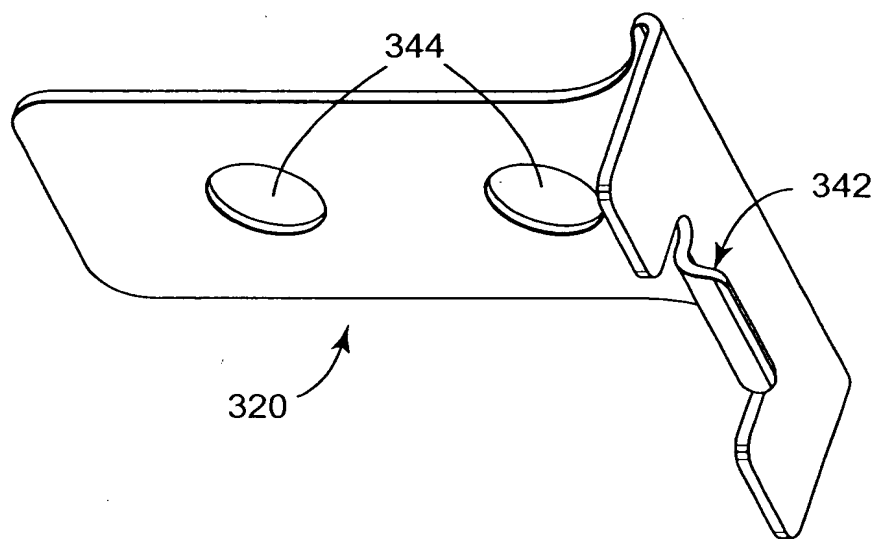


Fig. 27

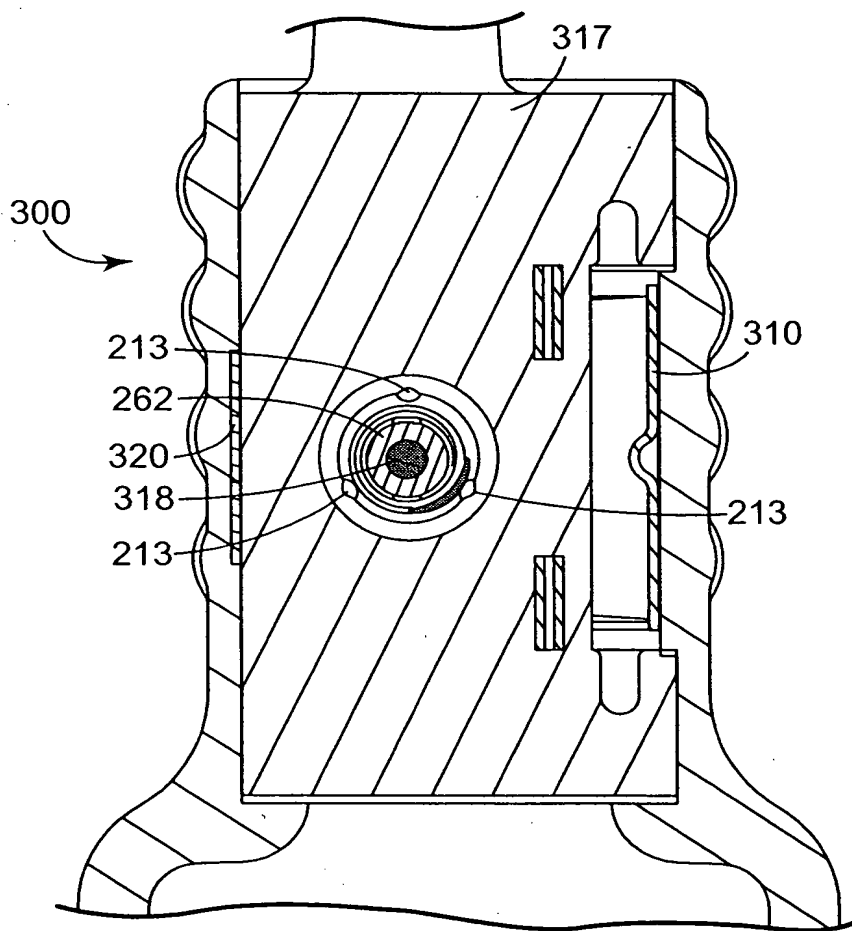


Fig. 28